

## TiO<sub>2</sub>/BiNbO<sub>4</sub> 复合光催化剂的制备及降解气相苯性能

吴大旺<sup>1,2</sup> 李硕<sup>\*2,3</sup> 张秋林<sup>2</sup> 陈耀强<sup>\*2,2</sup> 龚茂初<sup>2</sup>

(<sup>1</sup> 黔南民族师范学院化学与化工系, 都匀 558000)

(<sup>2</sup> 四川大学化学学院, 成都 610064)

(<sup>3</sup> 烟台大学化学生物理工学院, 烟台 264001)

**摘要:** 采用固相反应法制备出 BiNbO<sub>4</sub>, 将其与 TiO<sub>2</sub> 耦合, 得到 TiO<sub>2</sub>/BiNbO<sub>4</sub> 复合光催化剂。考察了催化剂在紫外光照射下催化降解气相苯的活性。结果表明, TiO<sub>2</sub> 与 BiNbO<sub>4</sub> 耦合后催化活性明显提高, 其中 36% TiO<sub>2</sub>/BiNbO<sub>4</sub> 紫外光照 5 h 对苯的降解率是 P-25 的 3.7 倍。紫外-可见漫反射谱(UV-Vis DRS)、XRD、XPS 和低温氮吸附-脱附等表征结果表明 TiO<sub>2</sub> 与 BiNbO<sub>4</sub> 的能级匹配, 二者之间存在能带协同效应。耦合后的 TiO<sub>2</sub>/BiNbO<sub>4</sub> 的光生电子和空穴能有效分离, 从而提高了催化剂催化活性。

**关键词:** TiO<sub>2</sub>/BiNbO<sub>4</sub>; 光催化; 降解; 气相苯

中图分类号: O643.36; O614.41<sup>+1</sup>; O614.53<sup>+2</sup>; O614.51<sup>+2</sup>

文献标识码: A

文章编号: 1001-4861(2012)07-1383-06

## Composite Photocatalyst TiO<sub>2</sub>/BiNbO<sub>4</sub>: Preparation and Degradation Performance for Gas Phase Benzene

WU Da-Wang<sup>1,2</sup> LI Shuo<sup>\*2,3</sup> ZHANG Qiu-Lin<sup>2</sup> CHEN Yao-Qiang<sup>\*2</sup> GONG Mao-Chu<sup>2</sup>

(<sup>1</sup>Chemistry and Chemical Engineering Department, Qiannan Normal University, Duyun, Guizhou 558000, China)

(<sup>2</sup>College of Chemistry, Sichuan University, Chengdu 610064, China)

(<sup>3</sup>Chemical and Biological Institute of Technology, Yantai University, Yantai, Shandong 264001, China)

**Abstract:** BiNbO<sub>4</sub> was prepared by solid phase reaction method. TiO<sub>2</sub>/BiNbO<sub>4</sub> composite photocatalysts were obtained by coupling TiO<sub>2</sub> and BiNbO<sub>4</sub>. The photocatalytic degradation for gas benzene was performed under UV irradiation. The results show that the catalytic activity is significantly enhanced by the coupling of TiO<sub>2</sub> and BiNbO<sub>4</sub>. The catalytic activity of 36% TiO<sub>2</sub>/BiNbO<sub>4</sub> is 3.7 times that of P-25. The characterization results of UV-Vis Diffused Reflectance Spectroscopy(UV-Vis DRS), XRD, XPS and low temperature adsorption-desorption reveal that the energy level of TiO<sub>2</sub> matches with BiNbO<sub>4</sub>, and there is synergistic effect for the coupled catalysts of TiO<sub>2</sub>/BiNbO<sub>4</sub>. After coupling of TiO<sub>2</sub> and BiNbO<sub>4</sub>, the photogenerated electrons and holes are effectively separated, thus the photocatalytic activity is enhanced.

**Key words:** TiO<sub>2</sub>/BiNbO<sub>4</sub>; photocatalytic; degradation; gases benzene

利用 TiO<sub>2</sub> 半导体光催化降解有机污染物已成为环境催化领域的研究热点<sup>[1-8]</sup>, 然而该项技术走向实际应用还受到 TiO<sub>2</sub> 光生电子和空穴的复合率较高、量子效率低等因素的限制<sup>[9]</sup>。目前已有离子掺杂、贵金属沉积、半导体复合和表面敏化等多种改性

方法<sup>[9-12]</sup>。其中, 半导体复合受到光催化工作者的重视。1993 年 Mario Schia veuo<sup>[13]</sup>首先用 WO<sub>3</sub> 与 TiO<sub>2</sub> 复合制备出 WO<sub>3</sub>/TiO<sub>2</sub>; 其后, Hou 等<sup>[14]</sup>又合成了 SnO<sub>2</sub>/TiO<sub>2</sub>; 1999 年, Kang 等<sup>[15]</sup>则制备出 CdS/TiO<sub>2</sub>; Bessekhouad 等<sup>[16]</sup>也用 CdS、Bi<sub>2</sub>S<sub>3</sub> 分别与 TiO<sub>2</sub> 复合,

收稿日期: 2011-11-20。收修改稿日期: 2012-03-02。

贵州省教育厅自然科学基金(No.2005221)、国家自然科学基金(No.20773090)资助项目。

\*通讯联系人。E-mail:tianshan0991@yeah.net; nic7501@scu.edu.cn.Tel/Fax:028-85418451; 会员登记号:S06N4556M1006。

制备出了  $\text{CdS}/\text{TiO}_2$  和  $\text{Bi}_2\text{S}_3/\text{TiO}_2$ ; 后来又有  $\text{Bi}_2\text{O}_3/\text{TiO}_2^{[11]}$ ;  $\text{Cu}_2\text{O}/\text{TiO}_2$  和  $\text{ZnMn}_2\text{O}_4/\text{TiO}_2^{[17]}$  等多种复合光催化剂的报道。

复合后的半导体光催化剂其催化性能得到了较大改善。如 Song 等<sup>[18]</sup> 催化降解 2-丙醇的实验结果表明,  $\text{WO}_3/\text{TiO}_2$  复合光催化剂的活性是纯  $\text{TiO}_2$  的近 3 倍。尽管如此, 复合光催化剂的数量和种类仍然较少, 其原因是制备复合型  $\text{TiO}_2$  半导体光催化剂, 另一半导体必须与  $\text{TiO}_2$  产生能带协同效应, 因此寻找新的半导体材料、开发新的高效复合光催化剂, 仍是当前光催化研究领域的一项重要课题。

2007 年, 邢精成等<sup>[19]</sup> 采用固相反应法制备出宽带隙半导体  $\text{BiNbO}_4$ , 在进行甲基橙的降解实验时发现,  $\text{BiNbO}_4$  具有一定的催化活性。本工作则将  $\text{BiNbO}_4$  与  $\text{TiO}_2$  复合, 制备出  $\text{TiO}_2/\text{BiNbO}_4$ , 并用于气相苯的降解, 结果表明,  $\text{TiO}_2/\text{BiNbO}_4$  复合光催化剂的活性远远高于纯  $\text{TiO}_2$  和  $\text{BiNbO}_4$ 。

## 1 实验部分

### 1.1 试 剂

钛酸正丁脂( $\text{Ti}(\text{OC}_4\text{H}_9)_4$ ), 无水乙醇( $\text{C}_2\text{H}_5\text{OH}$ ), 硝酸( $\text{HNO}_3$ ), 三氧化二铋( $\text{Bi}_2\text{O}_3$ ), 五氧化二铌( $\text{Nb}_2\text{O}_5$ ), P-25 $\text{TiO}_2$ (Degussa)。

### 1.2 催化剂的制备

将 53.38 g  $\text{Ti}(\text{OC}_4\text{H}_9)_4$  溶于 100 mL 无水乙醇, 加入硝酸溶液(水和浓硝酸的体积比为 1:1)8.4 mL, 用 250 mL 容量瓶和无水乙醇定容, 超声波震荡 60 min, 陈化 30 h 得到  $\text{TiO}_2$  溶胶。将一部分  $\text{TiO}_2$  溶胶蒸干, 450 ℃煅烧 3 h, 得到锐钛矿  $\text{TiO}_2$  粉体。称取 64.33 g  $\text{Bi}_2\text{O}_3$  和 8.17 g  $\text{Nb}_2\text{O}_5$ , 并与适量无水乙醇混合, 球磨 4 h, 120 ℃干燥 10 h, 900 ℃煅烧 12 h, 冷却至室温后研磨得到  $\text{BiNbO}_4$  粉体。

根据  $\text{TiO}_2$  含量算出  $\text{TiO}_2$  与  $\text{BiNbO}_4$  的质量比, 将  $\text{TiO}_2$  溶胶与  $\text{BiNbO}_4$  粉体混合, 在 65 ℃条件下搅拌、干燥, 450 ℃焙烧 3 h, 冷却至室温后研磨, 制得锐钛矿  $\text{TiO}_2$  含量分别为 12%、24%、36% 和 48% 的  $\text{TiO}_2/\text{BiNbO}_4$  复合光催化剂, 并分别表示为 12% $\text{TiO}_2/\text{BiNbO}_4$ 、24% $\text{TiO}_2/\text{BiNbO}_4$ 、36% $\text{TiO}_2/\text{BiNbO}_4$  和 48% $\text{TiO}_2/\text{BiNbO}_4$ 。

### 1.33 催化剂的活性评价

评价光催化剂的活性是以苯为模拟气体污染物, 在自制的静态反应装置中进行的, 反应装置是由一个密闭的不锈钢腔体组成, 总容积 173 L。内部支

架上安装有 3 支 10 W 的紫外灭菌灯(主波长 253.7 nm)和一台小电风扇。实验温度恒定在 40 ℃, 通过反应器外放置的几个红外灯来控制。实验时, 先把光催化剂均匀分散在反应器里面积为 100  $\text{cm}^2$  的铝箔上, 再将一定量液体苯注入反应器使之挥发, 气态苯的初始浓度保持在 1.0  $\text{mg}\cdot\text{L}^{-1}$ 。吸附达到平衡后, 取样测试初始浓度, 然后打开紫外灯照射光催化剂并每隔一定时间取样分析。光催化反应前后苯蒸气的浓度及其变化用 G2000 II 气相色谱仪(上海市计算技术研究所)检测, 苯的降解率用  $(C_0 - C)/C_0$  计算( $C_0$  为气体苯的初始浓度,  $C$  是开灯后  $t$  时刻苯的浓度)。

### 1.4 催化剂的表征

采用 TU-1907 荧光光度计(北京普析通用仪器有限公司) 测定催化剂的紫外-可见漫反射谱(UV-Vis DRS), 用  $\text{BaSO}_4$  作空白, 扫描速率为 300  $\text{nm}\cdot\text{min}^{-1}$ 。用 DX-1000 X 射线衍射(XRD)仪(辽宁丹东方圆仪器厂) 测定催化剂的物相组成及晶体结构,  $\text{Cu K}\alpha$  射线( $\lambda=0.15418 \text{ nm}$ ), 扫描范围  $2\theta=20^\circ\sim80^\circ$ , 激发电压 45 kV, 电流 40 mA。样品的织构性能采用低温  $\text{N}_2$  吸附法在 QUADRASORB SI 型自动吸附仪(Quantachrome Corporation) 上测定, 样品先在 350 ℃抽真空活化预处理 1 h, 以高纯液  $\text{N}_2$  为吸附质, 在 ~77 K 进行测量。催化剂的 X 射线光电子能谱(XPS) 采用 XSAM 800 型电子能谱仪(英国, KROTAS Co.) 分析, 以  $\text{Al K}\alpha(h\nu=1486.6 \text{ eV})$  作为激发源, 工作电压和电流分别为 13 kV 和 20 mA, 电子结合能数值用  $\text{C}1s(284.8 \text{ eV})$  校准。

## 2 结果与讨论

### 2.1 紫外光催化降解苯性能测试结果

图 1 为  $\text{TiO}_2/\text{BiNbO}_4$  系列催化剂、P-25 和无催化剂的情况下在紫外光照射下对苯的降解情况。由图 1 可以看出, 在紫外光照无催化剂条件下, 5 h 时苯的降解率仅为 2.8%, 低于 3%。紫外光照射 5 h,  $\text{TiO}_2/\text{BiNbO}_4$  和 P-25 对苯的降解率分别是 13.2%、9.7% 和 13.8%,  $\text{BiNbO}_4$  对苯的降解率明显低于 P-25,  $\text{TiO}_2$  对苯的降解率与 P-25 的相近但仍低于 P-25。而  $\text{TiO}_2/\text{BiNbO}_4$  复合光催化剂对苯的降解活性明显提高, 催化活性随  $\text{TiO}_2$  含量的增加而呈先升高后降低的趋势变化。 $\text{TiO}_2$  含量为 12%、24%、36% 和 48% 的复合催化剂紫外光照射 5 h 对苯的降解率分别达到 28.8%、41.9%、51.2% 和 15.9%, 其中 36% $\text{TiO}_2/\text{BiNbO}_4$  的苯的降解活性最佳, 其紫外光照射 5

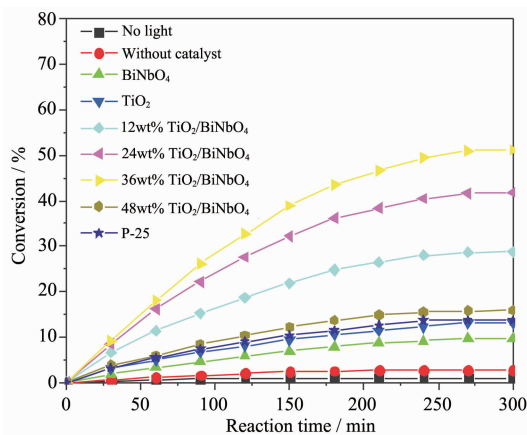


图1 催化剂紫外光照降解苯情况(相对湿度 40%)

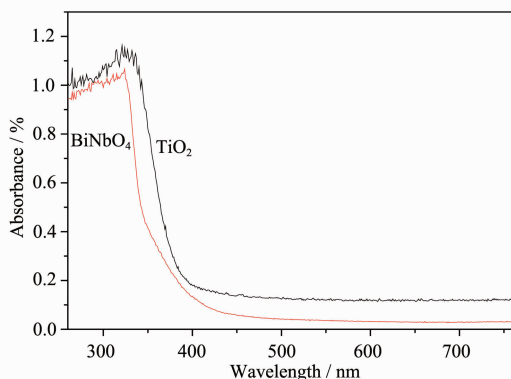
Fig.1  $\text{C}_6\text{H}_6$  degradation by different photocatalysts under ultraviolet light (RH=40%)

$\text{h}$  后对苯的降解率是 P-25 的 3.7 倍, 是自制锐钛矿  $\text{TiO}_2$  的 3.9 倍, 是  $\text{BiNbO}_4$  的 5.3 倍。作为对比, 36%  $\text{TiO}_2/\text{BiNbO}_4$  在无光照条件下对苯的催化降解活性结果也列于图 1, 可见无紫外光照下苯的降解率仅为 1.0%, 紫外光照是 36%  $\text{TiO}_2/\text{BiNbO}_4$  催化剂发挥降解作用的关键因素之一。

## 2.2 $\text{TiO}_2$ 与 $\text{BiNbO}_4$ 的紫外-可见吸收谱及能级位置

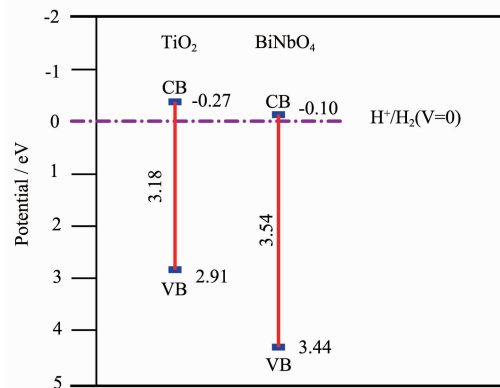
图 2 为  $\text{TiO}_2$ 、 $\text{BiNbO}_4$  的紫外-可见吸收谱(UV-Vis DRS)。由图 2 并采用 Khan 的方法<sup>[20]</sup>, 得到  $\text{TiO}_2$  和  $\text{BiNbO}_4$  的吸收边波长分别为 390 和 350 nm。由公式  $E_g = 1239.8/\lambda_g$ <sup>[21]</sup> ( $E_g$  为半导体的禁带宽度,  $\lambda_g$  为吸收边波长), 计算出  $\text{TiO}_2$  和  $\text{BiNbO}_4$  的禁带宽度分别为 3.18 和 3.54 eV。

将  $\text{TiO}_2$  和  $\text{BiNbO}_4$  的禁带宽度分别代入 Butler 公式  $E_{\text{VB}} = X - E^e + 0.5E_g$ <sup>[22-23]</sup> ( $E_{\text{VB}}$  为价带顶的能级位置,  $X$  为组成半导体中原子电负性的几何平均值,  $E^e$  为自由电子的能级( $E^e \approx 4.5$  eV),  $E_g$  为半导体的禁带宽

图2  $\text{BiNbO}_4$  和  $\text{TiO}_2$  的紫外-可见吸收谱Fig.2 UV-Vis DRS of  $\text{BiNbO}_4$  and  $\text{TiO}_2$ 

度。)计算出二者价带顶在以标准氢电极为零点的坐标中的能级位置:  $E_{\text{VB}}(\text{TiO}_2)=2.91$  eV;  $E_{\text{VB}}(\text{BiNbO}_4)=3.44$  eV。进一步由  $E_{\text{CB}}=E_{\text{VB}}-E_g$  公式计算出  $\text{TiO}_2$  和  $\text{BiNbO}_4$  导带底的能级位置:  $E_{\text{CB}}(\text{TiO}_2)=-0.27$  eV;  $E_{\text{CB}}(\text{BiNbO}_4)=-0.10$  eV, 将其示于图 3 中。

由图 3 可以看出,  $\text{TiO}_2$  与  $\text{BiNbO}_4$  的能级匹配, 二者复合后能够产生能带协同效应。

图3  $\text{TiO}_2$  和  $\text{BiNbO}_4$  的能级位置Fig.3 Energy levels of  $\text{TiO}_2$  and  $\text{BiNbO}_4$ 

## 2.3 XRD 结果和 BET 比表面积

图 4 为催化剂的 XRD 图。由图 4 可以看出,  $\text{BiNbO}_4$ 、 $\text{TiO}_2$  的衍射峰分别与  $\text{BiNbO}_4$  和 锐钛矿  $\text{TiO}_2$  的标准卡片 PDF 82-0348、PDF 21-1272 相一致, 表明  $\text{BiNbO}_4$  和 锐钛矿  $\text{TiO}_2$  的纯度较高。含  $\text{TiO}_2$  为 12% 和 24% 的复合光催化剂只检测到  $\text{BiNbO}_4$  衍射峰, 未见  $\text{TiO}_2$  的衍射峰; 36%  $\text{TiO}_2/\text{BiNbO}_4$  中仅在  $2\theta=25.3^\circ(101)$  出现了微弱的锐钛矿  $\text{TiO}_2$  衍射峰, 但在其它衍射角位置基本未见锐钛矿  $\text{TiO}_2$  衍射峰, 表明  $\text{TiO}_2$  在催化剂中晶化不明显, 晶粒不够完整, XRD 的衍射强度较低,  $\text{TiO}_2$  主要以微晶的形态存

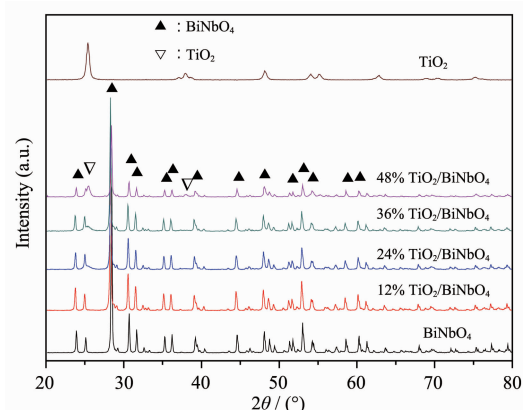


图4 催化剂的 XRD 图

Fig.4 XRD patterns of the catalysts

在;而 48% $\text{TiO}_2/\text{BiNbO}_4$  中则在  $2\theta=25.3^\circ(101)$  出现了非常明显的锐钛矿  $\text{TiO}_2$  衍射峰,并且在  $37.8^\circ(004)$  也出现了锐钛矿  $\text{TiO}_2$  的衍射峰,表明负载量达到 48% 时, $\text{TiO}_2$  在催化剂中晶化明显,其晶粒明显长大,造成了  $\text{TiO}_2$  在  $\text{BiNbO}_4$  的聚集晶化。另外,在各不同负载量的  $\text{TiO}_2/\text{BiNbO}_4$  中均未见其它新的物相生成,表明复合后的  $\text{TiO}_2/\text{BiNbO}_4$  仍然以锐钛矿  $\text{TiO}_2$  和  $\text{BiNbO}_4$  两种晶相存在。

表 1 给出了催化剂中  $\text{BiNbO}_4$  的晶胞体积、晶胞密度和系列催化剂的比表面积。

由表 1 可以看出,将  $\text{BiNbO}_4$  与  $\text{TiO}_2$  耦合成  $\text{TiO}_2/\text{BiNbO}_4$  复合催化剂后,复合催化剂中  $\text{BiNbO}_4$  的晶胞体积均比纯  $\text{BiNbO}_4$  的大,而其晶胞密度则比纯  $\text{BiNbO}_4$  的小;在复合光催化剂  $\text{TiO}_2/\text{BiNbO}_4$  中,随

着  $\text{TiO}_2$  含量的增加, $\text{BiNbO}_4$  的晶胞体积逐渐增大且在  $\text{TiO}_2$  所占比例为 36% 后基本不变,而晶胞密度呈现相反的趋势,这可能是焙烧时,由于热扩散的作用, $\text{TiO}_2$  与  $\text{BiNbO}_4$  交界的 Ti 离子越过晶界,渗入  $\text{BiNbO}_4$  晶格,将  $\text{BiNbO}_4$  的晶胞体积撑大造成的;且  $\text{BiNbO}_4$  的晶胞所能接纳的 Ti 离子体积有限,因而  $\text{BiNbO}_4$  体积的增加有一最大值,此值恰与  $\text{TiO}_2$  所占比例为 36% 具有着最高催化活性的测定结果相一致。晶体的体积增大,密度减小,有利于光生载流子的迁移<sup>[24]</sup>,因此,36% $\text{TiO}_2/\text{BiNbO}_4$  复合光催化剂,其晶胞体积大、密度小可能是其活性高的原因之一。另外,Ti 离子向  $\text{BiNbO}_4$  晶格扩散,也表明复合光催化剂  $\text{TiO}_2/\text{BiNbO}_4$  中  $\text{TiO}_2$  与  $\text{BiNbO}_4$  连接紧密,二者存在着较强的相互作用。

表 1 催化剂中  $\text{BiNbO}_4$  的晶胞体积、晶胞密度和催化剂的比表面积

Table 1 Cell volume and the cell density of  $\text{BiNbO}_4$  and the BET surface area of the catalysts

Sample	$V / \text{nm}^3$	$d / (\text{g} \cdot \text{cm}^{-3})$	$S_{\text{BET}} / (\text{m}^2 \cdot \text{g}^{-1})$
$\text{TiO}_2$	—	—	68.50
$\text{BiNbO}_4$	0.328 54	7.397	1.98
12% $\text{TiO}_2/\text{BiNbO}_4$	0.329 59	7.374	9.67
24% $\text{TiO}_2/\text{BiNbO}_4$	0.330 28	7.358	12.02
36% $\text{TiO}_2/\text{BiNbO}_4$	0.330 46	7.352	15.80
48% $\text{TiO}_2/\text{BiNbO}_4$	0.330 45	7.353	21.95

由表 1 还可看出, $\text{TiO}_2/\text{BiNbO}_4$  的比表面积随着  $\text{TiO}_2$  含量的增加而增大。比表面积出现这样的变化,是因为  $\text{BiNbO}_4$  的比表面积小, $\text{TiO}_2$  的比表面积大,二者耦合后, $\text{TiO}_2$  分散在  $\text{BiNbO}_4$  表面, $\text{TiO}_2/\text{BiNbO}_4$  的比表面积会依次增大。 $\text{TiO}_2$  含量低,比表面积小,分散在  $\text{BiNbO}_4$  表面上的  $\text{TiO}_2$  少,催化剂产生的光生载流子及氧化剂数量少,催化降解苯的效率低; $\text{TiO}_2$  的含量增加,催化剂的比表面积增大,产生的光生载流子及氧化剂数量增多,催化活性增强,催化效率提高。当  $\text{TiO}_2$  含量达到 36% 这一最佳值时,比表面积较大,且分散性也较好,催化效率最高。催化剂的分散性对于催化性能有着重要的影响<sup>[25]</sup>。在  $\text{TiO}_2/\text{BiNbO}_4$  的复合催化剂中,当  $\text{TiO}_2$  含量超过最佳值后,如达到 48% 时,比表面积虽然更大,但从光催化降解苯的测定结果可知,其活性却显著下降,这是由于  $\text{TiO}_2$  在  $\text{BiNbO}_4$  表面上的分散性下降所致。尽管 48% $\text{TiO}_2/\text{BiNbO}_4$  复合光催化剂  $\text{BiNbO}_4$  的晶胞体积仍然较大、密度较小,有利于光生载流子的迁移<sup>[24]</sup>,但由于  $\text{TiO}_2$  在  $\text{BiNbO}_4$  表面上的堆积, $\text{TiO}_2$  粒子半径

增大,其产生的光生载流子迁移至表面的距离延长,导致复合率增大,数量减少;同时堆积形成的大颗粒  $\text{TiO}_2$  阻碍了  $\text{BiNbO}_4$  对光的吸收,使之产生的光生载流子数量也有所减少。因此, $\text{TiO}_2$  负载量超过分散阈值造成堆积后,到达催化剂表面的光生载流子数量不增反降,因此其对苯的降解率也就随之下降。

#### 2.4 催化剂的 XPS 表征结果

图 5 为  $\text{TiO}_2$  和 36% $\text{TiO}_2/\text{BiNbO}_4$  中  $\text{Ti}2p$  的 XPS 谱。由图 5 可以看出, $\text{TiO}_2$  中  $\text{Ti}2p_{3/2}$  的结合能为 458.6 eV,36% $\text{TiO}_2/\text{BiNbO}_4$  中  $\text{Ti}2p_{3/2}$  的结合能为 458.1 eV。对照标准谱<sup>[26-27]</sup>,二者中的 Ti 均以  $\text{TiO}_2$  的形式存在,与 XRD 表征结果一致。与  $\text{TiO}_2$  与相比,36% $\text{TiO}_2/\text{BiNbO}_4$  中  $\text{Ti}2p_{3/2}$  的结合能向低能端位移了 0.5 eV,表明  $\text{TiO}_2$  与  $\text{BiNbO}_4$  复合后,Ti 周围其它原子的电子向 Ti 原子偏移,Ti 原子核周围电子云密度增大。

表 2 为  $\text{BiNbO}_4$  和 36% $\text{TiO}_2/\text{BiNbO}_4$  中  $\text{Bi}4f_{7/2}$ 、 $\text{Nb}3d_{5/2}$  的结合能。由表 2 可以看出, $\text{BiNbO}_4$  中  $\text{Bi}4f_{7/2}$ 、 $\text{Nb}3d_{5/2}$  的结合能分别为 159.0、206.5 eV,而

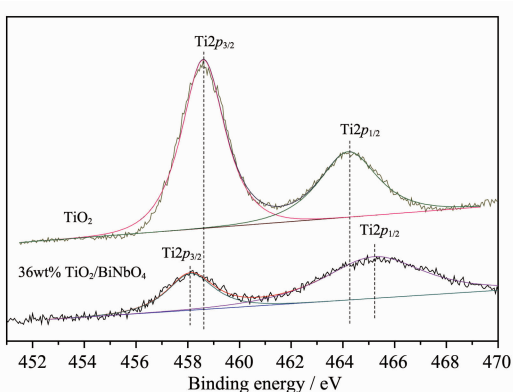


图 5  $\text{TiO}_2$  和 36wt% $\text{TiO}_2/\text{BiNbO}_4$  中  $\text{Ti}2p$  的 XPS 谱  
Fig.5 XPS  $\text{Ti}2p$  spectra of the  $\text{TiO}_2$  and 36% $\text{TiO}_2/\text{BiNbO}_4$

36% $\text{TiO}_2/\text{BiNbO}_4$  中  $\text{Bi}4f_{7/2}$ 、 $\text{Nb}3d_{5/2}$  的结合能分别为 159.3、206.9 eV。

由表 2 并对照标准谱<sup>[28]</sup>, 在  $\text{BiNbO}_4$  和 36wt% $\text{TiO}_2/\text{BiNbO}_4$  中 Bi 的价态均为 +3, Nb 的价态均为 +5, 表明  $\text{BiNbO}_4$  与  $\text{TiO}_2$  耦合后 Bi 和 Nb 的化合价均未发生变化, 与 XRD 表征结果一致。与  $\text{BiNbO}_4$  与相比, 36% $\text{TiO}_2/\text{BiNbO}_4$  中  $\text{Bi}4f_{7/2}$  和  $\text{Nb}3d_{5/2}$  的结合能分别向高端移动了 0.3 和 0.4 eV。结合  $\text{Ti}2p$  的 XPS 表征结果, 表明  $\text{TiO}_2$  与  $\text{BiNbO}_4$  复合成  $\text{TiO}_2/\text{BiNbO}_4$  后, Bi、Nb 原子核外的电子向 Ti 原子偏移, Bi、Nb 原子核外电子云密度减小, 晶体中 Bi、Nb 缺陷所占比例增大。

表 2 催化剂中 Bi 和 Nb 的结合能  
Table 2 Binding energy(eV)of Bi and Nb of catalysts

Sample	$\text{BiNbO}_4$		36% $\text{TiO}_2/\text{BiNbO}_4$	
Element	$\text{Bi}4f_{7/2}$	$\text{Nb}3d_{5/2}$	$\text{Bi}4f_{7/2}$	$\text{Nb}3d_{5/2}$
Binding energy / eV	159.0	206.5	159.3	206.9

图 6 是催化剂中 O1s 的 XPS 拟合谱。由图 6 可以看出,  $\text{TiO}_2$ 、 $\text{BiNbO}_4$  和 36wt% $\text{TiO}_2/\text{BiNbO}_4$  的 O1s 谱中均存在 2 个峰, 说明催化剂中均存在 2 种氧物种, 其中一种是晶格氧<sup>[29]</sup>, 另一种为表面吸附氧<sup>[30]</sup>。 $\text{TiO}_2$ 、 $\text{BiNbO}_4$  和 36wt% $\text{TiO}_2/\text{BiNbO}_4$  的 O1s 谱中晶格氧的结合能分别为 530.0、529.8 和 529.9 eV, 而表面吸附氧的结合能分别是 531.7、531.6 和 531.4 eV, 与  $\text{TiO}_2$  和  $\text{BiNbO}_4$  相比, 36wt% $\text{TiO}_2/\text{BiNbO}_4$  的晶格氧和表面吸附氧的结合能均发生了位移, O 的微观化学环境发生了变化, 这可能也有利于提高催化活性。

综上 XPS 表征结果所述,  $\text{TiO}_2$  与  $\text{BiNbO}_4$  复合成  $\text{TiO}_2/\text{BiNbO}_4$  复合催化剂后,  $\text{Ti}2p_{3/2}$ 、 $\text{Bi}4f_{7/2}$ 、 $\text{Nb}3d_{5/2}$  和 O1s 的电子结合能都发生了位移, Ti、Bi、Nb 和 O

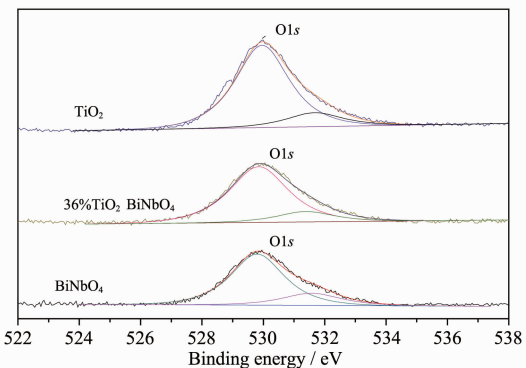


图 6 催化剂中 O1s 的 XPS 谱  
Fig.6 XPS O1s spectra of the catalysts

的微观化学环境都发生了变化, 表明  $\text{TiO}_2$  与  $\text{BiNbO}_4$  之间存在较强的相互作用。

## 2.5 $\text{TiO}_2/\text{BiNbO}_4$ 的催化活性增强机制

XRD 和 XPS 的测定结果表明, 复合光催化剂  $\text{TiO}_2/\text{BiNbO}_4$  中  $\text{TiO}_2$  与  $\text{BiNbO}_4$  之间有着较强的相互作用, UV-Vis DRS 测定和能带能级计算结果表明,  $\text{TiO}_2$  与  $\text{BiNbO}_4$  能级匹配, 在紫外光照射下, 二者将产生如图 7 所示的能带协同效应:

在紫外光照射下,  $\text{TiO}_2$  和  $\text{BiNbO}_4$  价带的电子被激发到导带并在价带留下空穴。由于二者关系紧密

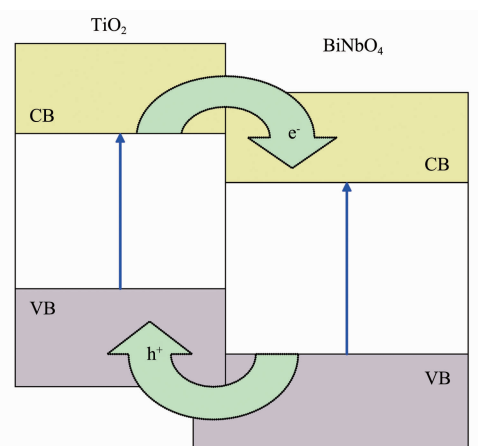


图 7  $\text{TiO}_2/\text{BiNbO}_4$  的光生电子和空穴转移示意图  
Fig.7 Photocatalyst electric charge transfer schematics for  $\text{TiO}_2/\text{BiNbO}_4$

及受热力学电化学势的驱动,TiO<sub>2</sub>导带的电子向BiNbO<sub>4</sub>的导带转移,BiNbO<sub>4</sub>价带的空穴向TiO<sub>2</sub>的价带聚集,光生电子和空穴因此得到有效分离,复合率大为降低,量子效率、催化活性得到提高。

### 3 结 论

复合光催化剂 TiO<sub>2</sub>/BiNbO<sub>4</sub> 的催化活性较 TiO<sub>2</sub> 和 BiNbO<sub>4</sub> 大为提高, 其中 36wt%TiO<sub>2</sub>/BiNbO<sub>4</sub> 的活性最好。这是因 TiO<sub>2</sub> 与 BiNbO<sub>4</sub> 的能级匹配, 二者之间存在能带协同效应; 而 36wt%TiO<sub>2</sub>/BiNbO<sub>4</sub> 的复合光催化剂比表面积较大,TiO<sub>2</sub> 的分散性较好, 没有出现团聚堆积现象,BiNbO<sub>4</sub> 的晶胞体积大而晶胞密度小,有助于光生载流子的迁移,从而催化效率最高。

### 参考文献:

- [1] Linsebigler A L, Lu G Q, Yates J T. *Chem. Rev.*, **1995**,**95**(3):735-758
- [2] Peral J, Ollis D F. *J. Catal.*, **1992**,**136**(2):554-565
- [3] Nimols M R, Jacoby W R, Blake D M, et al. *Environ. Sci. Tenchnol.*, **1993**,**27**(4):732-740
- [4] Sauer M L, Ollis D F. *J. Catal.*, **1994**,**149**(1): 81-91
- [5] Obee T N, Brown R T. *Environ. Sci. Tenchnol.*, **1995**,**29**(5): 1223-1231
- [6] Ameen M M, Raupp G B. *J. Catal.*, **1999**,**184**(1):112-122
- [7] Tada H, Kiyonaga T, Naya S. *Chem. Soc. Rev.*, **2009**,**38**(7): 1849-1858
- [8] SU Wen-Yue(苏文悦), FU Xian-Zhi(付贤智), WEI Ke-Mei(魏可镁). *Chem. J. Chinese Univ. (Gaodeng Xuexiao Huaxue Xuebao)*, **2001**,**22**(2):272-275
- [9] Hoffmann M R, Martin S T, Choi W, et al. *Chem. Rev.*, **1995**,**95**(1):69-96
- [10] Martra G. *Appl. Catal. A*, **2000**,**200**(1/2):275-285
- [11] CHEN Hua-Jun(陈华军), YIN Guo-Jie(尹国杰), WU Chun-Lai(吴春来). *Chinese J. Environ. Eng. (Huanjing Gongcheng Xuebao)*, **2008**,**2**(11):1516-1518
- [12] Lagref J J, Nazeeruddin M K, Gratzel M J. *Inorg. Chim. Acta*, **2008**,**361**(3):735-745
- [13] Mario S. *Electrochim. Acta*, **1993**,**38**(7):1056-1060
- [14] Hou L R, Yuan C Z, Peng Y. *J. Hazard. Mater.*, **2007**,**139**(2):310-315
- [15] Kang M G, Han H, Kim K. *J. Photochem. Photobiol. A: Chem.*, **1999**,**125**(1/3):119-125
- [16] Bessekhouad Y, Robert D, Weber J V. *J. Photochem. Photobiol. A: Chem.*, **2004**,**163**(3):569-580
- [17] Bessekhouad Y, Robert D, Weber J V. *Catal. Today*, **2005**,**101**(3/4):315-321
- [18] Song K Y, Park M K, Kwon Y T, et al. *Chem. Mater.*, **2001**,**13**(7):2349-2355
- [19] XING Jing-Cheng(邢精成), BIAN Jian-Jiang(卞建江), WANG Xiao-Jun(王小军), et al. *J. Funct. Mater. (Gongneng Cailiao)*, **2007**,**38**(4):565-572
- [20] Khan S U M, Al-Shahry M, Ingler W B Jr. *Science*, **2002**,**297**(5590):2243-2245
- [21] Papp J, Soled S, Dwight K, et al. *Chem. Mater.*, **1994**,**6**(4): 496-500
- [22] Butler M A, Ginley D S. *J. Electrochem. Soc.*, **1978**,**125**: 228-230
- [23] Tang J, Ye J. *Chem. Phys. Lett.*, **2005**,**410**(1/2/3):104-107
- [24] Huang T, Lin X, Xing J, et al. *Mater. Sci. Eng.: B*, **2007**,**141**(1/2): 49-54
- [25] JIANG Dong(姜东), XU Yue(徐耀), HOU Bo(侯博), et al. *Inorg. Mater. (Wuji Cailiao Xuebao)*, **2008**,**23**(5):1080-1084
- [26] Hopfengrtner G, Borgmann D, Rademacher I, et al. *J. Electron. Spectrosc. Relat. Phenom.*, **1993**,**63**(2):91-116
- [27] Kuznetsov M V, Zhuravlev J F, Gubanov V A. *J. Electron. Spectrosc. Relat. Phenom.*, **1992**,**58**(3):169-176
- [28] Wagner C D, Riggs W M, Mullenberg G E et al. *Handbook of X-Ray Photoelectron Spectroscopy*. Eden Prairie: Perkin-Elmer Corp, **1979**:102-162
- [29] WANG Wei-Cheng(王唯诚), LI Shuo(李硕), WEN Yi-Yun(温怡芸), et al. *Acta Phys. - Chim. Sin. (Wuli Huaxue Xuebao)*, **2008**,**24**(10):1761-1766
- [30] Wang S P, Zheng X C, Wang X Y, et al. *Catal. Lett.*, **2005**,**105**(3/4):163-168